

## بررسی تنوع فنوتیپی و ژنوتیپی جدایه‌های مختلف از میزبان‌های *Agrobacterium*

در استان‌های فارس و کهگیلویه و بویراحمد\*

## PHENOTYPIC AND GENOTYPIC CHARACTERISTICS OF *Agrobacterium* ISOLATES FROM DIFFERENT HOSTS IN FARS AND KOHGILUYE AND BOYERAHMAD PROVINCES

محمود شهابی محمدآبادی، سید محسن تقی و محمد جواهری<sup>۱</sup>

(تاریخ دریافت: ۱۳۹۰/۴/۲۹؛ تاریخ پذیرش: ۱۳۹۱/۳/۳۱)

### چکیده

در سال‌های ۱۳۸۷ و ۱۳۸۸ از باغ‌های مو، گلخانه‌های پرورش گل رز و هم‌چنین مزارع چغندرقند در استان‌های فارس و کهگیلویه و بویراحمد بازدید و از گیاهان دارای علایم گال طوفه و ریشه و خاک اطراف آنها نمونه‌برداری و به آزمایشگاه منتقل شد. جداسازی عامل بیماری روی محیط‌های *NA* و *IA DIM agar* و *RS* انجام گرفت. پس از خالص‌سازی جدایه‌ها، با انعام آزمون‌های استاندارد باکتری‌شناسی جدایه‌ها به عنوان *A. tumefaciens biovar 1* و *A. vitis* تشخیص داده شدند. آزمون بیماری زایی روی گیاهان کالانکوئه، گوجه‌فرنگی و آفتابگردان انجام شد و اکثر جدایه‌ها توانستند در این گیاهان تولید گال کنند. برای تشخیص بیماری زایی جدایه‌ها نیز از آغازگرهای اختصاصی *A/C* و *VCF/VCR* استفاده شد که به ترتیب تمام جدایه‌ها بازده‌ای ۲۲۴ و ۷۳۰ جفت بازی را نکشیر کردند. در بررسی آزمون *rep-PCR* با استفاده از آغازگرهای *BOX* و *ERIC* تنوع زیادی در بین جدایه‌ها مشاهده گردید. جدایه‌های به دست آمده از مناطق مختلف استان‌های فارس و کهگیلویه و بویراحمد به دو گروه کلی قابل تقسیم بودند. گروه یک نیز به دو زیر گروه تقسیم شد، که یک زیر گروه شامل جدایه‌های *A. vitis* (جدا شده از درختان مو) و زیر گروه دیگر شامل جدایه‌های *A. tumefaciens* (جدا شده از رز و چغندرقند) بود. گروه دوم نیز تعداد کمی از جدایه‌های *A. tumefaciens* (جدا شده از رز و چغندرقند) را شامل شد. حداقل شباهت در آزمون *rep-PCR* در داخل گونه *A. vitis* با حدود ۸۸ درصد به دست آمد. گروه‌بندی براساس خصوصیات ژنوتیپی تا حدودی با گروه‌بندی براساس خصوصیات فنوتیپی مطابقت داشته و آزمون‌های فنوتیپی و *rep-PCR* به خوبی توانستند گونه‌های *A. vitis* را از هم تفکیک نمایند.

واژه‌های کلیدی: گال طوفه و ریشه، *rep-PCR Agrobacterium*

\*: بخشی از پایان‌نامه کارشناسی ارشد نگارنده اول، ارایه شده به دانشکده کشاورزی، دانشگاه شیراز

\*\*: مسئول مکاتبات، پست الکترونیکی: mtaghavi@shirazu.ac.ir

۱. به ترتیب دانش‌آموخته کارشناسی ارشد، استاد و استادیار بیماری‌شناسی گیاهی، دانشکده کشاورزی، دانشگاه شیراز

## مقدمه

نامگذاری *Bacterium tumefaciens* همکاران (Bergy *et al.* 1923) نام باکتری را به *Phytomonas tumefaciens* تغییر دادند و در سال Conn ۱۹۴۲ مجددًا نام باکتری را تغییر داده و آن را Conn 1942; Skerman *et al.* نامید (*A. tumefaciens* (al. 1980).

طبقه‌بندی آگروباکتریوم سال‌ها براساس خصوصیات بیماری‌زایی صورت می‌گرفت، سپس این طبقه‌بندی براساس ویژگی‌های بیوشیمیایی به بیوتایپ I و II تغییر یافت. طبقه‌بندی بر پایه خصوصیات ژنتیکی آگروباکتریوم‌ها را به سه بیووار تقسیم نمود و در نهایت بیووار ۱، ۲ و ۳ بـهتریب *A. tumefaciens* نامیده شدند *A. vallis* *A. rubi* *A. rhizogenes* (Bouzar and Jones 2001). در سال ۲۰۰۱ یانگ و همکاران براساس توالی بازهای آلی ژن 16S rRNA، تمام گونه‌های بیماری‌زای این جنس را به استثنای گونه شاخص *A. tumefaciens* در جنس جدید *Rhizobium* نامگذاری نمودند، که این کار با اعتراض فراند و همکاران (Farrand *et al.* 2003) و امضای بیش از ۱۰۰ باکتری‌شناس مواجه شد، زیرا مقایسه صفات کلاسیک و مولکولی گونه‌های شناخته شده جنس آگروباکتریوم نشان می‌داد که بیووار یک و سه آن متفاوت از جنس *Rhizobium* بوده و بیووار دو نیز علی‌رغم تشابه بسیار نزدیک با گونه‌های *Rhizobium* تعامل متفاوتی با گیاهان Young *et al.* (Young 2003 and 2004a and 2004b; Euzeby 2004b; Euzeby 2004) باشد. طبق آخرین فهرست اسامی معترض باکتری‌ها (Young *et al.* 2004b; Euzeby 2004) اسامی جدید گونه‌های بیماری‌زای گیاهی جنس *Rhizobium* به قرار زیر است.

بیماری گال طوقه و ریشه یکی از بیماری‌های مهم گیاهان بوده و توسط گونه‌های *Agrobacterium* ایجاد می‌شود. گونه‌های مختلف آگروباکتریوم معمولاً به عنوان باکتری‌های خاکرآد شناخته شده که بیش از ۹۰ خانواده مختلف گیاهی شامل درختان میوه، خشکبار، گیاهان زینتی و خزنده (گل رز، شمشاد، داودی و کوکب) را آلوده می‌کنند (Bradbury 1986; Schaad *et al.* 2001). در اثر آلودگی گیاه به استرین‌های بیماری‌زای آگروباکتریوم، سلول‌ها بیش از حد تکثیر می‌شوند که منجر به تشکیل تومور (گال) طوقه و یا ریشه‌های ناجای بیش از حد (ریشه مویی) می‌گردد. گال طوقه هم‌چنین از رشد گیاهان بالغ به دلیل کاهش توسعه سیستم ریشه یا اختلال در جریان آوندی گیاهان جلوگیری می‌کند. ضررهای مالی ناشی از بیماری گال طوقه و ریشه میلیون‌ها دلار در سال تخمین‌زده شده است (Schaad *et al.* 2001). این بیماری عمدتاً در نهالستان‌ها مهمن بوده زیرا گیاهان آلوده غیرقابل فروش می‌شوند (Rhouma *et al.* 2006).

ایجاد گال در گیاه توسط یک پلاسمید حلقوی موجود در سلول باکتری، به نام pTi (tumor inducing plasmid) کترل می‌شود. بخشی از این پلاسمید که T-DNA (Transferred DNA) گیاه منتقل و باعث تولید مقدار زیادی هورمون‌های رشد گیاهی (اکسین و سیتوکینین) در محل نفوذ باکتری می‌شود، که این امر سبب تکثیر و رشد بیش از حد سلول‌های Miranda *et al.* 1992; Ream 1989; Thomashow *et al.* 1980 گیاهی و بروز گال می‌شود (؛ اولین بار این باکتری توسط از موهای آلوده جداسازی شد و سپس Smith and Townsend 1907) سمیت و تاونسن (Smith and Townsend 1907) بــاکتری عامل بیماری را شناسایی و آنرا

پراکندگی گسترده این بیماری در اکثر نقاط ایران، تعیین گونه‌های موجود، تنوع فنوتیپی، سرولوژیکی و ژنوتیپی جدایه‌های *Agrobacterium* در مناطق مختلف کشور مورد توجه بوده است. به دلیل پراکندگی گسترده این بیماری در استان‌های فارس و کهگیلویه و بویراحمد و لزوم انجام تحقیق روی تنوع ژنوتیپی عوامل بیماری در این استان‌ها، این تحقیق با هدف بررسی تنوع فنوتیپی و ژنوتیپی جدایه‌های *Agrobacterium* با استفاده از rep-PCR انجام شد.

### روش بررسی

#### ۱- نمونه‌برداری و جداسازی عامل بیماری

طی فصول مختلف سال، باغ‌های مو و گلخانه‌های تولید گل رز و مزارع چغندر قند در مناطق مختلف استان‌های فارس و کهگیلویه و بویر احمد مورد بازدید قرار گرفته و از گیاهان آلوده نمونه‌برداری صورت گرفت. از خاک اطراف گیاهان آلوده و شیره درختان نیز نمونه‌برداری صورت گرفت. نمونه‌ها درون کیسه‌های کاغذی و سپس کیسه‌های پلاستیکی قرار داده شد و در شرایط خشک و خنک به آزمایشگاه منتقل شد.

#### الف) جداسازی عامل بیماری از گال

گال‌های جوان، ریز، سفید و نرم از گیاهان مبتلا جدا و توسط آب معمولی شستشو داده شد. بافت‌های مرده و قهقهه‌ای که روی بعضی گال‌ها وجود داشتند از سطح گال‌ها جدا گشته و گال‌ها به مدت پنج دقیقه در مایع سفید کننده (هیپو کلریت سدیم) ۲۰٪ ضد عفونی و سپس توسط آب مقطر سترون شستشو گردید. گال‌های ضد عفونی شده در هاون‌های سترون همراه

- *R. radiobacter* (= *A. radiobacter*)
- *R. rhizogenes* (= *A. rhizogenes*)
- *R. larrymoorei* (= *A. larrymoorei*)
- *R. rubi* (= *A. rubi*)
- *R. vitis* (= *A. vitis*)

به این ترتیب نام شناخته شده به *A. tumefaciens* به *R. radiobacter* تغییر یافت. ولی با توجه به اینکه از لحاظ مکانیسم بیماری‌زایی و تعامل با گیاه با *Rhizobium* تفاوت داشته و برای بیماری‌شناسان گیاهی و متخصصین مهندسی ژنتیک، نام *Agrobacterium* آشناتر است کماکان از نام *Agrobacterium* استفاده کرده و هنوز هم اکثربتی بیماری‌شناسان گیاهی نام *A. tumefaciens* را به کار می‌برند.

در ایران بیماری گال طوفه مو برای اولین بار در سال ۱۳۳۷ در تاکستان‌های ارومیه مشاهده گردید و در سال ۱۳۴۵ عامل این بیماری از موهای آلوده در منطقه بوئین زهرای فروین جداسازی و شناسایی شد (Amani 1966). فاتحی و همکاران گونه *A. vitis* را از موستان‌های مناطق کرج و تاکستان جداسازی و شناسایی نمودند (Fatehi et al. 1998). آل یاسین و بنی هاشمی (Banihashemi 1993) و صالحی اردکانی و همکاران (Aleyasin 1993) عامل بیماری گال طوفه را از موهای استان‌های فارس و کهگیلویه و بویراحمد جداسازی و شناسایی نمودند. تقوی و گل خندان (Taghavi and Golkhandan 2005) عامل بیماری سرطان گالی چغندر قند را از چغندرهای استان‌های فارس و کهگیلویه و بویراحمد جداسازی و شناسایی کردند. صالحی و همکاران (Salehi et al. 2006) تنوع جدایه‌های *A. tumefaciens* در ایران را با استفاده از الگوی نقوش پروتئینی جدایه‌ها و آزمون BOX-PCR مورد بررسی قرار دادند. با توجه به اهمیت اقتصادی و

ج) جداسازی عامل بیماری از شیره گیاهی مو عصاره گیاهی از آوند چوبی گیاهان دارای علایم و فاقد علایم با دو روش تهیه شد. روش اول در ابتدای فصل بهار هنگامی که جوانه‌ها متورم شده بودند به کار گرفته شد. در این موقع جریان شیره گیاهی شدید و به گریه مو مشهور است. جهت تهیه مایع آوندی ساقه در حدود ۱۰ سانتی‌متری بالاتر از محل گال، بهوسیله الكل اتیلیک ۹۶ درصد ضدغونی سطحی شده و سپس بهوسیله اسکالپل، زخمی نسبتاً عمیق، در شاخه گیاه ایجاد گردید. پس از خروج چند قطره از شیره گیاهی، بهوسیله سرنگ سترون، مقداری از شیره گیاهی جدا و به شیشه‌های سترون منتقل و در دمای ۴°C نگهداری شد. در روش دیگر سطح خارجی شاخه‌های جوان در آزمایشگاه بهوسیله الكل اتیلیک ۹۶ درصد ضدغونی و سپس بهوسیله انبردست سترون فشرده شدند تا چندین قطره شیره آوندی خارج گردید. مایع آوندی به دست آمده از دو روش فوق بر روی محیط کشت RS کشت داده شده و تشتک‌ها در دمای ۲۷°C به مدت پنج روز نگهداری گردید. پرگنه‌های شبیه به Agrobacterium با مرکز قرمز و حاشیه سفید روی این محیط کشت انتخاب و پس از خالص‌سازی روی محیط کشت NA در صورت گرم منفی بودن و عدم تولید رنگ فلورسنت روی محیط King's B برای انجام سایر آزمون‌ها در دمای ۴°C نگهداری شدند.

۲- بررسی خصوصیات فنوتیپی و تغذیه‌ای جدایه‌ها آزمون‌ها با استفاده از روش‌های استاندارد باکتری‌شناسی انجام شد (Schaad *et al.* 2001). از محیط کشت‌های انتخابی شامل ۱A، ۲E، RS و همچنین آزمون‌های افتراقی شامل تولید ۳-کتولاکتوز، رشد در ۳۵°C، اثر روی شیر

مقداری آب سترون کاملاً له گشته و به مدت ۶۰-۳۰ دقیقه در محیط آزمایشگاه بدون حرکت قرار داده شد. بهوسیله یک لوب سترون چند قطره از عصاره حاصله Schaad *et al.* (D1M agar Potato (Nutrient Agar) NA (Dextrose Agar) کشت داده شد و تشتک‌ها در دمای ۲۷°C تا ظهور پرگنه‌های باکتری‌ای نگهداری گردید. پس از رشد باکتری‌ها، پرگنه‌های شبیه به Agrobacterium (پرگنه‌های بر جسته، مدور، براق، به PDA سفید شیری یا بژ از روی محیط‌های NA و ۱A انتخاب و هر پرگنه به صورت جداگانه روی محیط‌های انتخابی ۱A، (Roy & Sasser) RS 2E به صورت جداگانه Roy & Sasser 1983; Brisbane & Roy & Sasser 1983; (Kerr 1983 کشت داده شد).

ب) جداسازی عامل بیماری از خاک یک گرم از هر نمونه خاک جمع‌آوری شده در ۱۰ میلی‌لیتر آب مقطر سترون ریخته شد. نمونه‌ها به مدت ۱۵ دقیقه روی دستگاه شیکر قرار داده شده و سپس به صورت ساکن به مدت ده دقیقه در شرایط آزمایشگاه گذاشته شد تا ذرات جامد سنگین خاک تهشیش گرددند. چند قطره از مایع رویی محلول روی محیط کشت‌های RS و ۱A کشت داده شد و تشتک‌ها در دمای ۲۷°C تا ظهور پرگنه‌ها نگهداری شدند. پرگنه‌های شبیه (با مرکز قرمز و حاشیه سفید روی Agrobacterium محیط کشت RS و با مرکز قهوه‌ای و حاشیه سفید روی محیط کشت ۱A) انتخاب و پس از خالص‌سازی روی محیط NA، جهت انجام آزمون‌های بعدی، در یخچال نگهداری شدند.

(C': 5'-TCGTCTGGCTGACTTCGTCATAA-3' و طراحی شده براساس نواحی (Hass *et al.* 1995) *virD*<sub>2</sub> و VCF/VCR: 5'-ATCATTGTAGCGACT-3') VCF/VCR (VCR: 5'-AGCTCAAACCTGCTTC-3' (Sawada *et al.* 1995) *virC*<sub>2</sub>/*virC*<sub>1</sub> براساس نواحی (Tumefaciens استفاده شد.

سوسپانسیونی از باکتری با غلظت ۱۰<sup>۸</sup> cfu/ml (چگالی نوری ۱ در طول موج ۶۰۰ نانومتر) تهیه و به مدت ۱۰ دقیقه جوشانده شد و بلافاصله به مدت یک دقیقه روی یخ قرار گرفت. سپس به مدت دو دقیقه در دور ۱۱۰۰۰ g سانتریفیوژ شده و از فاز رویی مستقیماً در PCR استفاده شد. میزان مواد مورد استفاده ۰/۴ μM MgCl<sub>2</sub>, ۱/۵ mM dNTPs, ۰/۲ mM Tag DNA پلی مراز و ۲/۵ mL بافر PCR × ۱۰ به اضافه ۲ mL از سوسپانسیون جوشانده باکتری بود. چرخه حرارتی برای آغازگرهای A/C' با واسرشت‌سازی اولیه در دمای C ۹۴<sup>°</sup> به مدت یک دقیقه آغاز و سپس ۴۰ چرخه شامل واسرشت‌سازی DNA در دمای C ۹۴<sup>°</sup> به مدت یک دقیقه، اتصال آغازگر در دمای C ۵۴<sup>°</sup> به مدت یک دقیقه، گسترش در دمای C ۷۷<sup>°</sup> به مدت یک دقیقه و در نهایت یک چرخه گسترش نهایی در دمای C ۷۲<sup>°</sup> به مدت پنج دقیقه و برای آغازگرهای VCF/VCR با واسرشت‌سازی اولیه در دمای C ۹۵<sup>°</sup> به مدت دو و نیم دقیقه آغاز و سپس ۴۰ چرخه شامل واسرشت‌سازی DNA در دمای C ۹۵<sup>°</sup> به مدت یک دقیقه، اتصال آغازگر در دمای C ۵۱<sup>°</sup> به مدت یک دقیقه، امتداد در دمای C ۷۲<sup>°</sup> به مدت دو دقیقه و در نهایت یک سیکل امتداد نهایی در دمای C ۷۲<sup>°</sup> به مدت ۱۰ دقیقه انجام شد (Hass *et al.* 1995; Sawada *et al.* 1995). به منظور بررسی طول قطعات تکثیر شده، ژل آگارز یک درصد تهیه و محصولات PCR به همراه مارکر 1kb (تهیه

لیتموس، تولید اسید از ساکاروز، اریتریتول، ملوزیتوز، تولید قلیا از اسید مالونیک، اسید پروپیونیک، اسید میوسیک و اسید ال- تارتاریک، رشد و تولید رنگدانه روی فریک آمونیوم سیترات و مصرف ال- تایروزین برای تمایز *A.vitis* و *A. rhizogenes* *A. tumefaciens* Schaad *et al.* 2001; Roy & Sasser 1983; گردید (Brisbane & Kerr 1983; Fahy & Perseley 1983).

### ۳- آزمون بیماری‌زایی

جهت انجام این آزمون، ابتدا گیاهان آفتابگردان (*Helianthus annuus* L.), کالانکوئه (*Bryophyllum daigremontianum* L.) و گوجه‌فرنگی (*Lycopersicon esculentum* L.) در گلدانهای حاوی خاک سترون کاشته شدند، و پس از ۳ تا ۴ هفته آزمون بیماری‌زایی روی آنها انجام گردید. ابتدا به وسیله الكل اتیلیک، محل مایه‌زنی ضد عفونی و سپس به وسیله یک سوزن باریک، از کشت ۲۴ ساعته، باکتری به ساقه این گیاهان مایه‌زنی شد. به منظور حفظ رطوبت محل زخم با پنبه مرطوب و پارافیلم برای چند روز پوشیده شد. در تمامی موارد، گیاهان شاهد نیز با آب مقطر سترون مایه‌زنی و به وسیله پنبه مرطوب و پارافیلم محل زخم پوشیده شد. پس از ۲۰ روز، علایم روی گیاهان مورد Djavaheri and Mohammadi (2000; Salahi Ardekani *et al.* 2000) بررسی قرار گرفت.

### ۴- تشخیص گونه‌های بیماری‌زای باکتری

برای تشخیص گونه‌های بیماری‌زای باکتری *Agrobacterium* با آغازگرهای اختصاصی A: 5'- ATGCCGATCGAGCTCAAGT-3') A/C'

تهیه و محصولات PCR به همراه مارکر 1kb (تهیه شده از شرکت Fermentas) در چاهک‌های آن بارگذاری و به مدت ۴ ساعت با ولتاژ ۱۰۰ ولت الکتروفورز شدند. پس از آن با استفاده از اتیدیوم بروماید (10 mg/ml) رنگ‌آمیزی صورت گرفت و با استفاده از دستگاه Gel Documentation از آن عکسبرداری شد. سپس وزن مولکولی قطعات تکثیر شده به صورت چشمی اندازه‌گیری شد.

شده از شرکت Fermentas) در چاهک‌های آن بارگذاری و به مدت یک ساعت با ولتاژ ۹۰ ولت الکتروفورز شد. پس از آن با استفاده از اتیدیوم بروماید (10 mg/ml) رنگ‌آمیزی صورت گرفت و با استفاده از دستگاه Gel Documentation Tajhiz, Company (Aran) (Gel Documentation Tajhiz, Company advanced laboratory and medical equipment آن عکس‌برداری شد.

### ۵- آزمون rep-PCR

**۶- آنالیز داده‌های فنوتیپی و ژنوتیپی**

Numerical Taxonomy & Multivariate Analysis System (Ntsys-pc 2.02) (Rohlf 2000) رسم گردید. فاصله ژنتیکی جدایه‌ها با استفاده از نرم‌افزار شباht ژنتیکی بین افراد براساس مارکرهای مولکولی، به صورت وجود یا عدم وجود نوار در ژل مشخص شد. خصوصیات فنوتیپی به صورت کدهای یک (برای خصوصیات مثبت) و صفر (برای خصوصیات منفی) و خصوصیات ژنوتیپی به صورت کدهای یک (برای وجود باند) و صفر (برای عدم وجود باند) در این نرم‌افزار تعریف شد. بر پایه خصوصیات فنوتیپی و خصوصیات ژنوتیپی، دندروگرام مربوط به ۳۰ جدایه توسط این نرم‌افزار رسم شد. درصد تشابه بین جدایه‌های موجود در گروه‌ها، براساس کلیه خصوصیات فنوتیپی و ژنوتیپی انجام گرفته در این تحقیق، محاسبه گردید.

### نتیجه و بحث

**۱- جداسازی عامل بیماری و بررسی خصوصیات فنوتیپی جدایه‌ها**

از گیاهان مو، گل رز و چغندر قند دارای علایم گال طوفه و هم‌چنین شیره آوندی گیاه مو دارای علایم گال، یک

جهت بررسی تنوع ژنتیکی جدایه‌های باکتری *Agrobacterium* از روش rep-PCR برای تکثیر قطعات، بین نواحی حفاظت شده استفاده گردید. از آغازگرهای R BOXA1R (5'-CTACGGCAAGCGACGCTGACG-3') و ERIC1R (5'-ATGTAAGCTCCTGGGGATTAC-3') و ERIC2 (5'-AAGTAAGTgACTGGGTGAGCG-3') به این منظور استفاده شد (Versalovic *et al.* 1991; 1994). میزان مواد مورد استفاده ۱/۶ mM MgCl<sub>2</sub>, ۰/۴ μM dNTPs, ۰/۲ mM آنزیم Tag DNA پلی مراز و ۲/۵ μL بافر PCR ۱۰× به اضافه ۲۶ L از سوسپانسیون جوشانده باکتری بود. و اسرشت‌سازی اولیه در دمای ۹۵°C به مدت دو دقیقه آغاز و سپس ۳۰ تا ۳۵ چرخه شامل و اسرشت‌سازی DNA در دمای ۹۴°C به مدت یک دقیقه و ۹۰°C به مدت ۳۰ ثانیه، اتصال آغازگر در دمای ۵۲°C (برای آغازگر BOXA1R و دمای ۵۳°C (برای آغازگرهای ERIC1R و ERIC2) به مدت یک دقیقه، امتداد در دمای ۷۲°C به مدت یک دقیقه و در نهایت یک چرخه امتداد نهایی در دمای ۷۲°C به مدت پنج دقیقه انجام شد (Versalovic *et al.* 1991). به منظور بررسی قطعات تکثیر شده در آزمون rep-PCR، ژل آگارز ۱/۵ درصد

نیترات را داشتند. سایر جدایه‌ها از نظر این خصوصیت منفی بودند. جدایه‌های شماره ۲، ۱۶ و ۱۷ (*A. vitis*) و جدایه‌های شماره ۱۹، ۲۱، ۲۲، ۲۵ و ۲۷ (*A. tumefaciens* biovar 1) توانستند آنزیم اوره آز تولید کنند ولی سایر جدایه‌ها از نظر تولید این آنزیم مثبت بودند. در منابع این خصوصیت برای جنس *Agrobacterium* معمولاً مثبت ذکر گردیده است (*Bouzar et al.* 1993; *Fahy & Persley* 1983; *Schaad et al.* 2001). تمام جدایه‌ها شیر لیتموس را قلیایی کردند، ولی زمان تغییر رنگ توسط جدایه‌ها در این آزمون متفاوت بود.

جدایه‌های ۵، ۱۰ و ۱۳ (*A. vitis*) قادر به استفاده از قند ساکاروز نبودند، ولی بقیه جدایه‌ها توانستند از این قند در محیط کشت استفاده کنند و رنگ محیط را تغییر دهند. *A. tumefaciens* در منابع نیز این خصوصیت برای *A. vitis* متفاوت اعلام شده است (*Schaad et al.* 2001). همچنین جدایه‌های ۱۱ و ۱۵ (*A. vitis*) قادر به تولید قلیا از اسید پروپیونیک بودند، که در منابع این خصوصیت برای *A. vitis* منفی ثبت گردیده، ولی این نتیجه با نتیجه جواهری (*Djavaheri* 2000) مطابقت داشت. این خصوصیات نشان می‌دهد، که جدایه‌های مختلف *A. vitis* و *A. tumefaciens* biovar 1 همگن نبوده و در تعدادی از آزمون‌ها با هم اختلاف داشتند. همبستگی خاصی بین تمایز فنوتیپی و محل جمع‌آوری آنها وجود نداشت.

## ۲- آنالیز عددی خصوصیات فنوتیپی

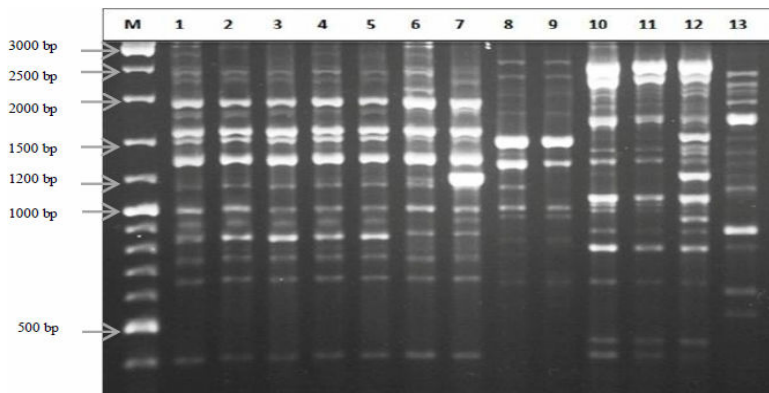
براساس آنالیز عددی داده‌های حاصل از آزمون‌های مختلف بیوشیمیایی، فیزیولوژیکی و تغذیه‌ای با استفاده از نرمافزار Ntysys-pc version 2.02 جدایه‌های باکتری

باکتری گرم منفی، اکسیداز و کاتالاز مثبت جدا شد، که براساس نتایج سایر آزمون‌های استاندارد باکتری‌شناسی از جمله تولید ۳-کتولاکتوز، رشد در نمک طعام ۲ درصد و دمای ۳۵ °C، فعالیت روی شیر لیتموس، تولید اسید از ملوزیتوز، دولسیتوول و ساکاروز، واکنش منفی در هیدرولیز ژلاتین و تولید یا عدم تولید گاز  $H_2S$  به عنوان باکتری *Agrobacterium* تشخیص داده شد. براساس آزمون‌های افتراقی و همچنین با استفاده از محیط‌های کشت انتخابی شامل ۱A و RS، جدایه‌های درختان مو به عنوان *A. vitis* (۱۶ جدایه) و جدایه‌های گیاهان گل رز و چندرقند به عنوان ۱ (۱۴ جدایه) تشخیص داده شد (*Schaad et al.* 2001). مشخصات جدایه‌ها در جدول ۱ آمده است. از سی جدایه به دست آمده از گال و شیره آوندی جدایه‌های شماره ۴، ۷ و ۹ (۱۲ جدایه) و *A. tumefaciens* biovar 1 (۲۱ و ۲۹) از نظر تولید  $H_2S$  با خصوصیات ذکر شده در منابع متفاوت بودند، چون که این خصوصیت برای *A. vitis* مثبت ذکر شده است (*Fahy & Persley* 1983; *Goto* 1992).

جدایه‌های ۲، ۴، ۳، ۶، ۸، ۷ و ۹ (*A. vitis*) تولید ۳-کتولاکتوز نمودند، ولی بقیه جدایه‌های *A. vitis* از نظر این خصوصیت منفی بودند. در اکثر منابع، این خصوصیت برای *A. vitis* منفی ذکر شده است (*Fahy & Persley* 1983; *Goto* 1992). هرچند که بعضی منابع، این خصوصیت را برای *A. vitis* متفاوت اعلام کرده‌اند (*Schaad et al.* 2001). جدایه‌های مختلف باکتری‌ای، از نظر احیای نیترات با هم تفاوت داشتند، به‌طوری‌که جدایه‌های شماره ۲، ۳ و ۱۲ (*A. vitis*) و جدایه‌های ۱۹، ۲۶ و ۲۷ (*A. tumefaciens* biovar 1) قدرت احیا

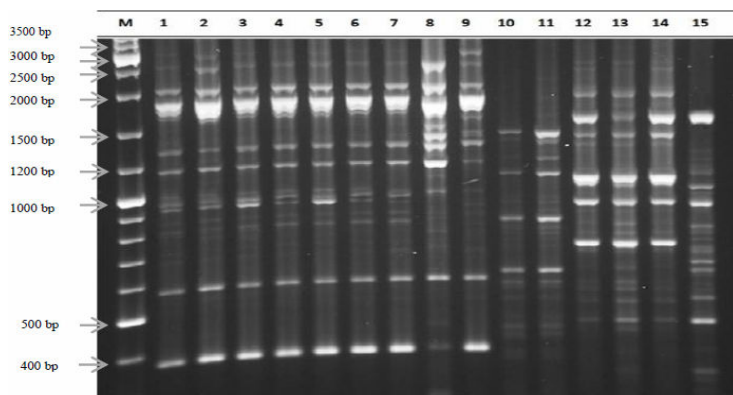
جدول ۱. مشخصات جدایه‌های *Agrobacterium* جدا شده از گیاهان مو، گل رز و چغندر قند در استان‌های فارس و کهگیلویه و بویراحمد  
Table 1. Characteristics of *Agrobacterium* strains, isolated from grapevine, rose and sugar beet in Fars and Kohgiluye and Boyerahmad provinces.

<i>Agrobacterium</i> Species	نام گیاه (Natural Host)	شماره جدایه (Strain No.)
<i>A. vitis</i>	مو (grapevin)	1
<i>A. vitis</i>	مو (grapevine)	2
<i>A. vitis</i>	مو (grapevine)	3
<i>A. vitis</i>	مو (grapevine)	4
<i>A. vitis</i>	مو (grapevine)	5
<i>A. vitis</i>	مو (grapevine)	6
<i>A. vitis</i>	مو (grapevine)	7
<i>A. vitis</i>	مو (grapevine)	8
<i>A. vitis</i>	مو (grapevine)	9
<i>A. vitis</i>	مو (grapevine)	10
<i>A. vitis</i>	مو (grapevine)	11
<i>A. vitis</i>	مو (grapevine)	12
<i>A. vitis</i>	مو (grapevine)	13
<i>A. vitis</i>	مو (grapevine)	14
<i>A. vitis</i>	مو (grapevine)	15
<i>A. vitis</i>	مو (grapevine)	16
<i>A. tumefaciens</i>	گل رز (rose)	17
<i>A. tumefaciens</i>	گل رز (rose)	18
<i>A. tumefaciens</i>	گل رز (rose)	19
<i>A. tumefaciens</i>	گل رز (rose)	20
<i>A. tumefaciens</i>	چغندر قند (sugar beet)	21
<i>A. tumefaciens</i>	گل رز (rose)	22
<i>A. tumefaciens</i>	چغندر قند (sugar beet)	23
<i>A. tumefaciens</i>	گل رز (rose)	24
<i>A. tumefaciens</i>	گل رز (rose)	25
<i>A. tumefaciens</i>	گل رز (rose)	26
<i>A. tumefaciens</i>	گل رز (rose)	27
<i>A. tumefaciens</i>	گل رز (rose)	28
<i>A. tumefaciens</i>	گل رز (rose)	29
<i>A. tumefaciens</i>	چغندر قند (sugar beet)	30



شکل ۱. نقوش الکتروفورزی محصول PCR در جدایه‌های آگروباکتریوم با استفاده از آغازگر **BOXA1R**-Mارکر (1kb DNA ladder تهیه شده از شرکت Fermentas) چاهک‌های ۱ و ۲ و ۳ و ۴ و ۵ و ۶ و ۷- جدایه‌های شماره ۱، ۲، ۳، ۴، ۵، ۱۳ و ۱۵ چاهک‌های ۸ و ۹ و ۱۰ و ۱۱ و ۱۲ و ۱۳- جدایه‌های شماره ۱۹، ۲۲، ۲۰، ۲۳، ۲۶ و ۱۸ (*A. tumefaciens*)

**Fig. 1.** rep-PCR fingerprinting from genomic DNA of *Agrobacterium* isolates using BOXA1R primer. M: DNA molecular size marker (1kb DNA ladder; Fermentas). Lines 1, 2, 3, 4, 5, 6, 7- isolates 1, 2, 3, 4, 5, 13 & 15 (*A. vitis*). Lines 8, 9, 10, 11, 12, 13- isolates 19, 22, 20, 23, 26 & 18 (*A. tumefaciens*).

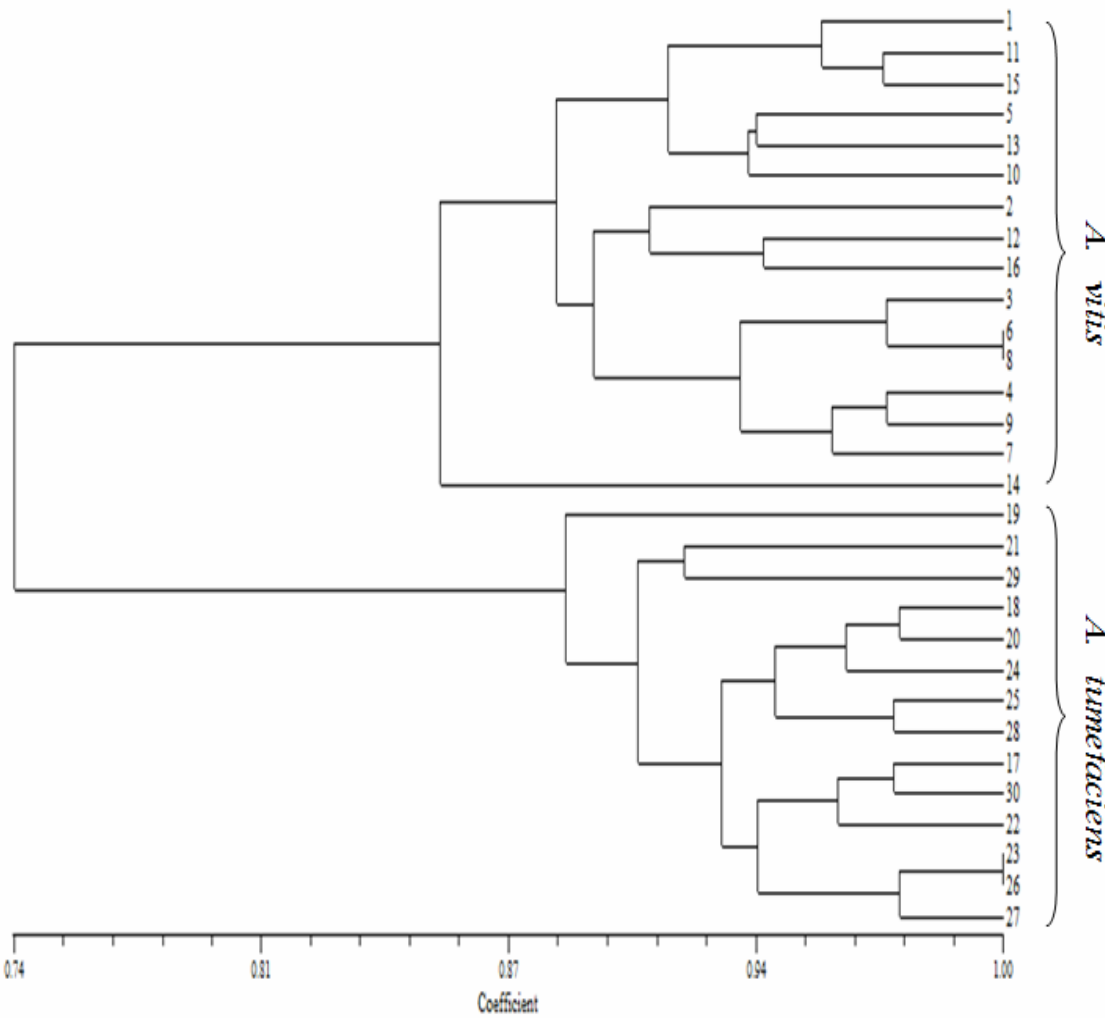


شکل ۲. نقوش الکتروفورزی محصول PCR در جدایه‌های آگروباکتریوم با استفاده از جفت آغازگر **ERIC1R/ERIC2**-Mارکر (1kb DNA ladder تهیه شده از شرکت Fermentaz) چاهک‌های ۱ و ۲ و ۳ و ۴ و ۵ و ۶ و ۷ و ۸ و ۹- جدایه‌های شماره ۱، ۲، ۳، ۴، ۵، ۶، ۷، ۸ و ۹ (*A. tumefaciens*) چاهک‌های ۱۰ و ۱۱ و ۱۲ و ۱۳ و ۱۴ و ۱۵- جدایه‌های شماره ۱۹، ۲۲، ۲۰، ۲۳، ۲۶ و ۱۸ (*A. vitis*)

**Fig. 2.** rep-PCR fingerprinting from genomic DNA of *Agrobacterium* isolates using ERIC1R/ERIC2 primer. M: DNA molecular size marker (1kb DNA ladder; Fermentaz). Lines 1, 2, 3, 4, 5, 6, 7, 8, 9- isolates 1, 2, 3, 4, 5, 6, 7, 13 & 15 (*A. vitis*). Lines 10, 11, 12, 13, 14, 15- isolates 19

شباهت می باشد (شکل ۳). براساس تحقیق صلاحی (Ardakani and Salahi 2000) اردکانی و همکاران (*Salahi Ardakani et al. 2000*) گونه غالب بر روی درختان مو بوده، هرچند که *A. vitis* نیز روی درختان مو می تواند ایجاد گال نماید، در این تحقیق نیز *A. vitis* در مناطق نمونه برداری

با ۷۴ درصد شباهت در دو گروه قرار گرفتند. گروه یک شامل جدایه‌های *A. vitis* که از درختان مو جدا شده بود با ۸۵ درصد شباهت و گروه دوم شامل جدایه‌های *A. tumefaciens* biovar 1 که از میزبان‌های گل رز و چغندر قند جدا شده بود با حدود ۸۹ درصد



شکل ۳. دندروگرام رسم شده براساس خصوصیات فنتوپی جدایه‌های آگروباکتریوم با استفاده از نرم‌افزار Ntsys-pc version 2.02 (مشخصات جدایه‌ها در جدول ۱ آمده است).

**Fig. 3. A dendrogram based on phenotypic characteristics of *Agrobacterium* isolates using Ntsys-pc version 2.02 software (Characteristics of *Agrobacterium* isolates are listed in Table1.).**

تولید گال نکرد، در حالی که جدایه شماره ۱۹، علاوه بر گیاه کلانکوئه روی گیاهان آفتابگردان و گوجه‌فرنگی نیز ایجاد کال کرد. بنابراین برای اثبات بیماری‌زایی جدایه‌های *A. tumefaciens* و *A. vitis* نباید به یک یا دو گیاه اکتفا کرد، زیرا ممکن است جدایه مذکور روی این گیاهان بیماری‌زا نباشد ولی روی گیاهان دیگری قدرت بیماری‌زایی داشته باشد. تفاوت در دامنه میزانی جدایه‌ها

فراوانی و پراکندگی بیشتری داشت.

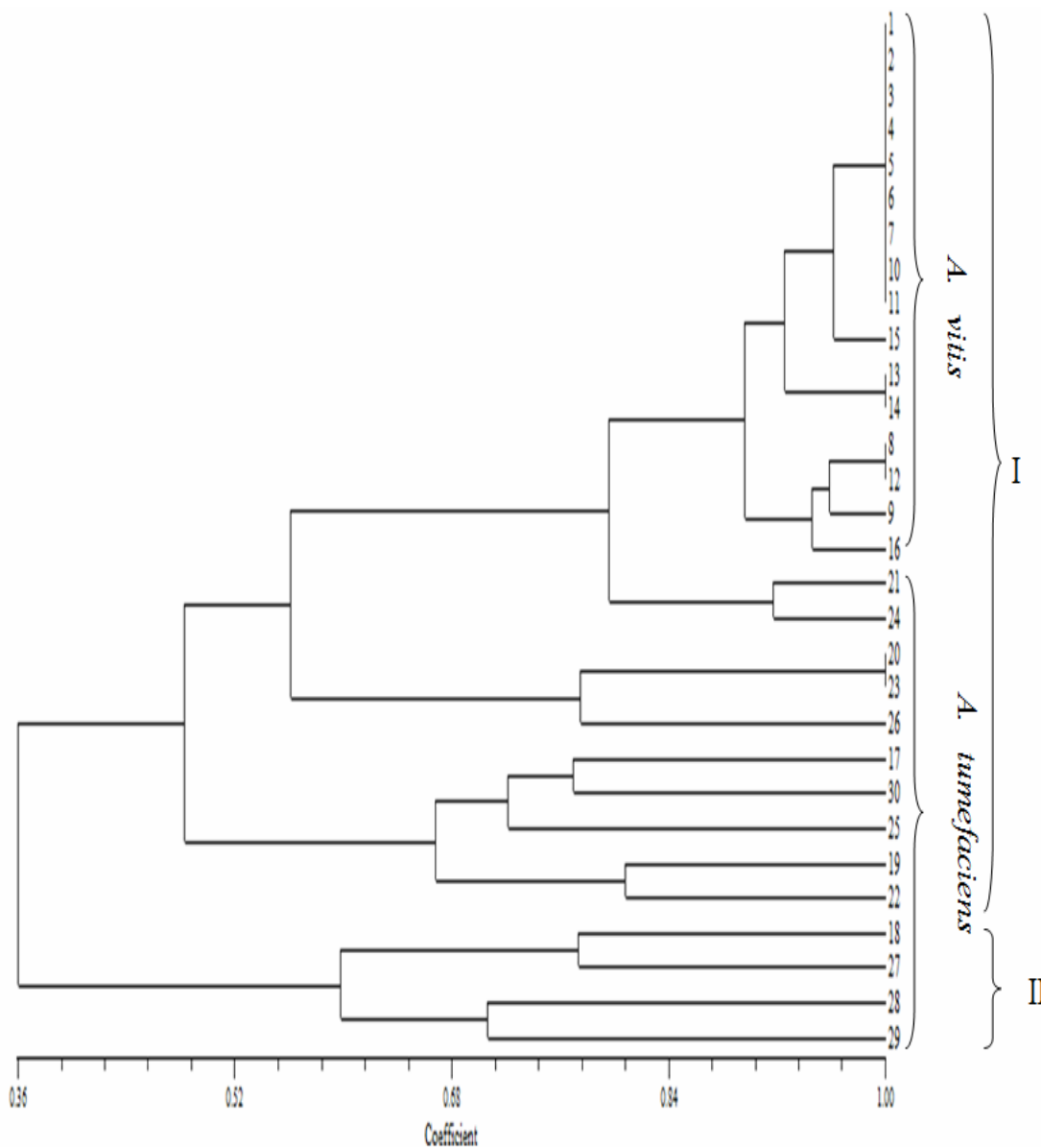
### ۳- اثبات بیماری‌زایی و تشخیص گونه‌های بیماری‌زای *Agrobacterium* با آغازگرهای اختصاصی

ایجاد بیماری روی میزانهای مختلف در بین جدایه‌ها متفاوت بود. به عنوان مثال جدایه شماره ۸، فقط روی گیاه کلانکوئه بیماری‌زا بود و روی آفتابگردان و گوجه‌فرنگی

1994). با استفاده از آغازگر BOX1R باندهایی در محدوده ۴۰۰ تا ۳۰۰۰ جفت بازی و با استفاده از جفت آغازگر ERIC1R/ERIC2 باندهایی در اندازه‌های حدود ۳۰۰ تا ۳۵۰۰ جفت بازی تکثیر شد (شکل‌های ۱ و ۲). در بررسی آزمون rep-PCR تنوع زیادی در بین جدایه‌ها علی‌رغم یکسان بودن خصوصیات فنوتیپی و الگوی تغذیه‌ای آنها دیده شد. در دندروگرام حاصله جدایه‌های به‌دست آمده از مناطق مختلف استان‌های فارس و کهگیلویه و بویراحمد به دو گروه کلی با ۳۶ درصد شباهت قابل تقسیم بودند. گروه یک نیز با حدود ۴۸ درصد شباهت به دو زیر گروه تقسیم شد، که یک زیر گروه شامل جدایه‌های *A.vitis* (جدا شده از درختان مو) با حدود ۸۸ درصد شباهت و زیر گروه دیگر شامل جدایه‌های *A. tumefaciens* (جدا شده از سایر میزبان‌ها) با حدود ۴۸ درصد شباهت بود. گروه دوم نیز تعداد کمی از جدایه‌های *A. tumefaciens* (جدا شده از گل‌های رز) را با حدود ۵۹ درصد شباهت شامل گردید (شکل ۴). در بررسی صالحی و همکاران (Salehi et al. 2006) به‌وسیله آزمون BOX-PCR جدایه‌های به‌دست آمده از مناطق مختلف ایران به دو دسته کلی تقسیم شده و تنوع زیادی در سطح ژنوم آنها وجود داشت. تحقیقات پستانی و همکاران (Epstein et al. 1999) و صندری و همکاران (Safdari et al. 2009) توسط آزمون‌های rep-PCR و ERIC-PCR نیز نشان دادند که جدایه‌های آگروباکتریوم در کالیفرنیا (جدا شده از درختان گردو) و ایران دارای تنوع زیادی هستند، که نتایج به‌دست آمده در این تحقیق نیز با نتایج تحقیقات آنها مطابقت داشت. درصد تشابه پایین در بین جدایه‌ها، حتی در سویه‌های جدا شده از یک ناحیه، بیانگر ناهمگونی بالا در بین جدایه‌های آگروباکتریوم می‌باشد. براساس نتایج این تحقیق، آزمون‌های بیوشیمیایی،

می‌تواند به عوامل بسیاری از جمله زمینه کروموزومی باکتری، زمینه کروموزومی گیاه، سازگاری ژنتیکی بین باکتری و گیاه، چگونگی الحاق T-DNA به ژنوم گیاه و بیان ژن‌های بیماری‌زای باکتری و پلاسمید Ti بستگی داشته باشد. تحقیقات ناوف و همکاران (Knauf et al. 1982) نیز نشان داده عوامل متعددی از جمله پلاسمید Ti، زمینه کروموزومی باکتری و تنوع ژنتیکی میزبان در تعیین دامنه میزبانی نقش دارند. در بعضی موارد، تعدادی از جدایه‌ها روی هیچ کدام از گیاهان مورد آزمون ایجاد گال نکردند (جدایه‌های ۱، ۲، ۵، ۱۰ و ۱۶ از *A. vitis* و جدایه‌های ۲۲، ۲۵، ۲۹ و ۳۰ از *A. tumefaciens* biovar ۱)، که شاید مربوط به عدم سازگاری بین بیماری و گیاهان استفاده شده در این تحقیق بوده است. همچنان در این آزمون همبستگی زیادی بین گونه باکتری، میزبان و گیاه مورد استفاده در آزمون بیماری‌زای دیده نشد ولی در اکثر موارد ایجاد گال توسط جدایه‌های *A. tumefaciens* جدا شده از رز روی هر سه میزبان بیشتر از سایر جدایه‌ها بود. در تمام موارد، هم جدایه‌های بیماری‌زا و هم جدایه‌های غیربیماری‌زا در این تحقیق، قادر به تکثیر باندهای ۲۲۴ و ۷۳۰ جفت بازی با آغازگرهای اختصاصی A/C' و VCF/A/C' و VCR بودند. با توجه به اینکه آغازگرهای اختصاصی VCF/VCR به ترتیب براساس نواحی *virD2* و *virC2/virC1* موجود در پلاسمید Ti، طراحی شده بودند، تکثیر باندهای ۲۲۴ و ۷۳۰ جفت بازی نشان‌دهنده وجود پلاسمید Ti در این جدایه‌ها و قابلیت بیماری‌زا و ایجاد گال توسط آنها می‌باشد.

**۴- آزمون rep-PCR**  
در آزمون rep-PCR از دو آغازگر BOXA1R و Versalovic et al. (1982) استفاده شد (ERIC1R/ERIC2



شکل ۴. دندروگرام خصوصیات ژنتیکی جدایه‌های آگروباکتریوم براساس آغازگرهای BOXA1R و ERIC1R/ERIC2 با استفاده از نرم‌افزار Ntsys-pc version 2.02 (مشخصات جدایه‌ها در جدول ۱ آمده است).

**Fig. 4. A dendrogram based on genotypic characteristics of *Agrobacterium* isolates based on BOXA1R and ERIC1R/ERIC2 primers using Ntsys-pc version 2.02 software (Characteristics of *Agrobacterium* isolates are listed in Table1.).**

کارابی داشته و این روش‌ها مکمل *Agrobacterium* یکدیگرند. همچنین آزمون rep-PCR در گروه‌بندی و تعیین تنوع جدایه‌های *Agrobacterium* کارا بوده و

فیزیولوژیکی و تغذیه‌ای به عنوان معیاری مطمئن و با دقت بالا در کنار روش‌های مولکولی، با سرعت و حساسیت بالا برای شناسایی و ردیابی جدایه‌های

واردادات گل‌های رز از کشورهای مختلف به خصوص از کشور هلند جستجو نمود.

#### منابع

جهت ملاحظه به صفحات (113 - 115) متن انگلیسی مراجعه شود.

آزمون rep-PCR با استفاده از آغازگرهای BOXA1R و ERIC1R/ERIC2 توانست جدایه‌های دو گونه را از هم تفکیک کند. همچنین براساس آزمون rep-PCR جدایه‌های *A. tumefaciens* (جاداشده از گیاهان گل رز و چغندر قند) نسبت به جدایه‌های *A. vitis* (جدا شده از مو) دارای تنوع بیشتری بودند. علت این تنوع ژنتیکی را شاید بتوان در تنوع میزانی این گونه و همچنین